

تجزیه ساختار و تنوع ژنتیکی آفتابگردان روغنی (*Helianthus annuus L.*) بر اساس نشانگرهای ریزماهواره

فاطمه صحرانورد آذرتم^۱، مرتضی قدیم زاده^۲ و رضا درویشزاده^{۳*}

- ۱- دانشآموخته کارشناسی ارشد، گروه اصلاح و بیوتکنولوژی گیاهی، دانشکده کشاورزی، دانشگاه ارومیه، ارومیه
- ۲- دانشیار، گروه اصلاح و بیوتکنولوژی گیاهی، دانشکده کشاورزی، دانشگاه ارومیه، ارومیه
- ۳- استاد، گروه اصلاح و بیوتکنولوژی گیاهی، دانشکده کشاورزی، دانشگاه ارومیه، ارومیه

(تاریخ دریافت: ۱۳۹۴/۱۰/۰۷ - تاریخ پذیرش: ۱۳۹۴/۱۲/۲۲)

چکیده

آگاهی از میزان تنوع ژنتیکی و درک روابط موجود بین ژنوتیپ‌ها گام مؤثری در راستای حفظ ژرم پلاسم و طراحی برنامه‌های اصلاحی در گیاهان است. در این مطالعه تنوع ژنتیکی ۱۰۶ لاین مختلف آفتابگردان روغنی با ۳۰ جفت آغازگر ریزماهواره مورد ارزیابی قرار گرفت. در مجموع ۷۱ آل در لاین‌های مورد مطالعه شناسایی شدند. تعداد آل‌ها در مکان‌های ریزماهواره بین ۲ تا ۴ عدد متغیر و میانگین تعداد آل در هر مکان ریزماهواره ۲/۰۷ بود. دامنه تعداد آل موثر از ۱/۰۶ در مکان ژئی ORS718 تا ۳/۱۵ در مکان ژئی HA3040 متغیر بود. میانگین تعداد آل موثر برابر ۱/۶۴ برابر شد. میانگین محنتی اطلاعات چندشکلی (PIC) برابر ۰/۳۴۴ به دست آمد. با توجه به میزان PIC و تعداد آل، می‌توان بیان نمود که آغازگرهای HA3040 و ORS733، مناسب ترین آغازگرها برای بررسی تنوع ژنتیکی و تمایز ژنوتیپ‌ها می‌باشند. بر اساس ضریب تشابه جاکارد با الگوریتم Complete بود. بر اساس این گروه بندی لاین‌های مورد بررسی در ۴ گروه قرار گرفتند. ۹۶ لاین از ۱۰۶ ژنوتیپ استفاده شده بر اساس مراکز تحقیقاتی مبدأ، گروه‌بندی شدند. کمترین فاصله ژنتیکی نی برابر ۰/۰۰۴ بین گروه مشاهده شد. تجزیه ساختار جمعیت نشان داد به احتمال قوی جمعیت مورد مطالعه دارای ۵ زیرساختار می‌باشد. بررسی انتساب لاین‌ها به زیرساختارها الگوی خاصی از جمله توزیع جغرافیایی را نشان نداد. از تنوع ژنتیکی و فاصله ژنتیکی که با استفاده از نشانگرهای SSR به دست آمد، میتوان بطور مطلوب در برنامه‌های تلاقی و بهترزادی آفتابگردان روغنی استفاده کرد.

واژگان کلیدی: آفتابگردان، تجزیه خوش‌های، تنوع ژنتیکی، ریزماهواره، زیرجمعیت

* نویسنده مسئول، آدرس پست الکترونیکی: r.darvishzadeh@urmia.ac.ir

نایادارند. نشانگرهای DNA اطلاعات مفیدی راجع به پلی مورفیسم، ارتباط ژنتیکی و تنوع ارائه می دهند (Thormann *et al.*, 1994; Paniego *et al.*, 1999) نشانگرها پایداری بالاتری دارند و در همه بافت ها صرف نظر از مراحل رشد و نمو یا حالت دفاعی سلول قبل از تشخیص هستند و تحت تاثیر محیط و اثرات اپیستازی قرار نمی گیرند (Mondini, 2009). یکی از نشانگرهای مولکولی بر پایه واکنش زنجیره ای پلی مراز (PCR)، نشانگر ریزماهواره یا ردیف های تکراری ساده (Simple sequence repeat; SSR) می باشد که به طور گستردگی در مطالعات ژنتیک گیاهی در سال های اخیر استفاده می شود (Darvishzadeh *et al.*, 2010; Kholghi *et al.*, 2012). ریزماهواره ها گروهی از ردیف های تکرار شونده اند که با نام های مختلف همچون تفاوت طول ردیف های ساده (SSLPs)، ردیف های کوتاه تکراری (STRs)، موتیف های با ردیف ساده (SSMs) و نقاط ریزماهواره نشانمند از ردیف (STMs) نیز خوانده می شوند. از آنجا که جایگاه ژنی یک ریزماهواره در ژنوم خاص بوده و ردیف های مجاور آن در ژنوتیپ های مختلف حفظ شده است، آغازگر طراحی شده برای یک ژنوتیپ می تواند به خوبی برای تکثیر ریزماهواره از طریق واکنش زنجیره ای پلی مراز در ژنوتیپ های دیگر و حتی گونه های خویشاوند استفاده شود. واگرایی و یا هم گرایی (SSR) ها در اگزون ها می تواند باعث ایجاد و یا از دست دادن عملکرد یک ژن mRNA از طریق جهش در چارچوب، یا افزایش سمیت (Li *et al.*, 2004) (Expanded mRNA toxicity) وجود این، عملکرد ژن هایی که حاوی SSR ها هستند و همچنین نقش موتیف های SSR در ژن های گیاهی کمتر مطالعه و درک شده است (Varshney *et al.*, 2005).

نشانگرهای SSR به دلیل میزان بالای چندشکلی، توزيع تصادفی و توارث همبارز مندلی، از برترین و قابل اعتمادترین نشانگرها برای مطالعات ژنتیکی می باشند (Kalia *et al.*, 2011). به علت بیشتر بودن تعداد آلل هایشان در میان تمام نشانگرها بالاترین میزان

مقدمه

آفتابگردان (*Helianthus annuus* L.) یک گیاه دیپلوید (2n=2x=34)، متعلق به خانواده Asteraceae یا Compositae، زیر خانواده Helianthoideae و طایفه Heliantheae می باشد. جنس *Helianthus* شامل ۶۷ گونه یک ساله و چند ساله می باشد (Heiser, 1976). آفتابگردان زراعی دولپه، دگرگشن و یک ساله می باشد (Heiser, 1976; Fick, 1989) Dry and Burdon, 1986; Muller *et al.*, 2009). دانه های روغنی بی شک از راهبردی ترین محصولات کشاورزی هستند که تولید آن جزء نیازهای زیر بنایی برای ایجاد امنیت غذایی هر جامعه محسوب می شود. آفتابگردان یکی از چهار گروه عمده گیاهان روغنی است که از نظر سطح زیر کشت بعد از سویا، کلزا و بادام زمینی قرار دارد (Hu *et al.*, 2010). آفتابگردان دارای سه تیپ روغنی، آجیلی و زیتی می باشد (Paniego *et al.*, 2007). درصد روغن در بین گروه های مختلف تیپ روغنی بین ۴۲ تا ۵۲ درصد متغیر بوده و برای استحصال روغن مورد استفاده قرار می گیرند. آفتابگردان یک گیاه مدل برای مطالعات ژنومیکس در خانواده آستراسه می باشد (Poniego *et al.*, 1999).

انتخاب ژنوتیپی نیازمند تنوع می باشد و با بالا رفتن تنوع ژنتیکی در یک جامعه، حدود انتخاب؛ چه طبیعی و چه مصنوعی وسیع تر می شود. در حقیقت تنوع ژنتیکی برای کشاورزان و اصلاح گران جهت به دست آوردن ارقام جدید با عملکرد بالا، سازگاری به تنش های محیطی و مقاومت به آفات و عوامل بیماری زا ضروری است (Laurentin, 2009). ارقام هیبرید آفتابگردان برای اولین بار در اوایل دهه هیفتاد میلادی از طریق تلاقی لاین های نر عقیم سیتوپلاسمی و لاین های برگداننده باروری معرفی شدند که نقطه عطفی در اصلاح آفتابگردان به شمار می رود (Fick and Zimmer, 1974). در اکثر موارد شناسایی لاین های والدی در آفتابگردان براساس صفات مورفوЛОژیک است اما تعداد این صفات محدود و

نshanگر رایج برای ارزیابی ژرم پلاسم آفتابگردان هستند. نshanگرها مولکولی خنثی مانند ریزماهواره‌ها و AFLP، امکان ارزیابی رابطه میان اندازه جمعیت، سطح تنوع ژنتیکی و پسروی خویش آمیزی را میسر ساخته است (Ebrahimi and Zinoabedini, 2013) تنوع ژنتیکی حجم انبوهی از لاین‌های آفتابگردان روغنی از مراکز مختلف تحقیقاتی با نshanگرها SSR بررسی شده است.

مواد و روش‌ها

مواد گیاهی و استخراج DNA: بذور ۱۰۶ لاین خالص آفتابگردان روغنی از چندین مرکز تحقیقاتی جهان شامل موسسه تحقیقات اصلاح و تهیه نهال و بذر ایران، وزارت کشاورزی آمریکا، چندین مرکز تحقیقاتی وابسته به دانشگاهها در اروپا تهیه (جدول ۱) و در گلدان‌های جدگانه کشت شدند و سپس DNA ژنومی از نمونه‌های برگی گیاهچه‌های ۱۵ روزه با روش دلپورتا و همکاران Dellaporta *et al.*, 1983) استخراج شد. کیفیت DNA نمونه‌های استخراجی با استفاده از الکتروفورز ژل آگارز ۴۵ mM Tris base, 45mM TBE X ۰.۵ درصد در بافر ۰/۸ (boric acid, 1mM EDTA pH 8.0) در ولتاژ ۸۰ ولت به مدت ۴۵ دقیقه بررسی شد. کمیت DNA با استفاده از اسپکتوفوتومتری در طول موج ۲۶۰ نانومتر با استفاده از بیوفوتومر ۶۱۳۱ (Eppendorf, Germany) تعیین شد. TE DNA ژنومی در نهایت در مقدار μl ۱۰۰ بافر ۳۳۹ (10mM Tris, 1mM EDTA; pH 8.0) حل شد. از نshanگر SSR توسعه یافته در دانشگاه ارگون آمریکا (Tang *et al.*, 2002) و 'ORS' نshanگر SSR توسعه یافته در آرژانتین (Paniego *et al.*, 2002) 'HA' مکان SSR بر اساس توازن در پوشش مناسب ژنوم و وضوح در باندهای چندشکل تولیدی انتخاب شدند (Tang *et al.*, 2002; Poormahamad Kiani *et al.*, 2007). واکنش زنجیره‌ای پلی مراز: واکنش زنجیره‌ای پلی مراز در حجم نهایی ۱۵ میکرولیتر که شامل ۴/۴ میکرولیتر آب دیونیزه، ۲ میکرولیتر بافر پی سی آر (10X)، ۱

هتروزیگوستی را دارند (Liu, 2007). این نshanگرها امروزه به عنوان یک ابزار کارآمد برای انگشت نگاری (Veinne, 2003; Eathing *et al.*, 2007) مولکولی انواع گیاهان (Kubo, 2009) توسعه نقشه‌های پیوستگی در گونه‌های مختلف (Galaev, 2006; Khelestkina *et al.*, 2002) با ژن‌های صفات مهم اقتصادی (AT)n، (TC)n، (AC)n، (AT)n، (TC)n، (AC)n است. جداسازی دی‌نوکلئوتیدهای AT از کتابخانه ژنومی که فراوان ترین ریزماهواره در گیاهان هستند، به علت خاصیت متقارن بودن (پالیندروم) این نوع توالی‌ها بسیار سخت است (Gabor *et al.*, 2000; Morgante *et al.*, 2002). ریزماهواره‌ها بر خلاف ماهواره‌ها و ماهوارک‌ها دارای توزیع تصادفی در ژنوم می‌باشند به طوریکه در ۱۰ Kb از توالی DNA حداقل یک توالی ریزماهواره دیده (Gabor *et al.*, 2000; Morgante *et al.*, 2002) وبر (Weber, 1990) دریافت که اگر تعداد واحدهای تکرار شونده CA کمتر از ۱۲ باشد، ریز ماهواره‌ها رفتار یک شکلی (Monomorphic) نشان خواهند داد در حالی که با افزایش طول ریزماهواره (بیشتر از ۱۲ تکرار) احتمال چندشکلی (Polymorphism) نیز بیشتر می‌شود. پژوهش‌های بعدی بر روی ریزماهواره‌ها از جمله گیاهان نتایج وبر (Weber, 1990) را مورد تایید قرار داد. به طوری که همبستگی مثبت و معنی داری بین تعداد واحدهای تکرارشونده و تعداد آلل‌های شناسایی شده مشاهده شد. نshanگرها مولکولی بسیاری از قبیل Cheres *et al.*, 2007; Dong *et al.*, 2007; Darvishzadeh, (AFLP, Iqbal *et al.*, 2008) RAPD (Darvishzadeh *et al.*, 2010; Khalghi *et al.*, 2012; Yu *et al.*, 2002) REMAP و IRAP (Basirnia *et al.*, 2002) جهت بررسی تنوع ژنتیکی و پیش‌بینی عملکرد هیبریدها در آفتابگردان استفاده شده است. تحقیقات در رابطه با آفتابگردان نشان داده است که عملکرد هیبریدها با تنوع ژنتیکی والدین همبستگی معنی داری دارد (Darvishzadeh, 2012).

آغازگرهای رفت و برگشت با غلظت ۱۰ میلی مولار، ۰/۱۶ میکرولیتر از تگ DNA پلی مراز (Cinna Gen, Tehran, Iran) و ۵ نانوگرم DNA الگو بود، انجام شد.

میکرولیتر MgCl₂ (۵۰ میلی مولار)، ۰/۸ میکرولیتر dNTP (۱۰ میلی مولار) (BioFluxbiotech: http://biofluxbiotech.com)

جدول ۱- اسامی و منشا لین های آفتابگردان روغنی مورد مطالعه

Table 1. Name and origin of sunflower lines used in the present study

شماره No.	نام لاین Line	کشور Country	گروه Group	شماره No.	نام لاین Line	کشور Country	گروه Group
1	DM2	USA	USDA	53	H100A	FRANCE	ASGROW
2	HAR4	USA	USDA	54	H158A/RHA274	FRANCE	ASGROW
3	SDB1	USA	USDA	55	H209A/H566R	FRANCE	ASGROW
4	SDR18	USA	USDA	56	H100A/83HR4	FRANCE	ASGROW
5	RHA274	USA	USDA	57	H205A/H543R	FRANCE	ASGROW
6	SDB3	USA	USDA	58	H209A/LC1064	FRANCE	ASGROW
7	HA335B	USA	USDA	59	AS5304	FRANCE	ASGROW
8	PM1-3	USA	USDA	60	LP-CSYB	FRANCE	ENSAT
9	SDR19	USA	USDA	61	ENSAT-283	FRANCE	ENSAT
10	HA337B	USA	USDA	62	AS3211	FRANCE	ENSAT
11	HA304	USA	USDA	63	AS5306	FRANCE	ENSAT
12	RHA858	USA	USDA	64	ENSAT-254	FRANCE	ENSAT
13	RHA266	USA	USDA	65	ENSAT-270	FRANCE	ENSAT
14	KANSAS510	USA	USDA	66	1009329 2(100K)	FRANCE	ENSAT
15	16	IRAN	SPII	67	1009337 (100K)	FRANCE	ENSAT
16	344	IRAN	SPII	68	100935 0(100K)	FRANCE	ENSAT
17	11×12	IRAN	SPII	69	ENSAT-699	FRANCE	ENSAT
18	26	IRAN	SPII	70	AS3232	FRANCE	ENSAT
19	38	IRAN	SPII	71	PAC2	FRANCE	ENSAT
20	346	IRAN	SPII	72	1009370-1(100K)	FRANCE	ENSAT
21	260	IRAN	SPII	73	1009370 3(100K)	FRANCE	ENSAT
22	262	IRAN	SPII	74	ENSAT-695	FRANCE	ENSAT
23	1059	IRAN	SPII	75	AS6305	FRANCE	ENSAT
24	36	IRAN	SPII	76	AS0-1-POP-A	FRANCE	ENSAT
25	4	IRAN	SPII	77	CAY	FRANCE	ENSAT
26	30	IRAN	SPII	78	A-control plastipic	FRANCE	ENSAT
27	28	IRAN	SPII	79	703-CHLORINA	FRANCE	ENSAT
28	110	IRAN	SPII	80	NS-R5	FRANCE	NOVARTIS
29	LC1064C	FRANCE	ASGROW	81	NS-B5	FRANCE	NOVARTIS
30	H158A×LC1064C	FRANCE	ASGROW	82	NSF1 A4×R5	FRANCE	NOVARTIS
31	AS5305	FRANCE	ASGROW	83	NSF1 A5×R5	FRANCE	NOVARTIS
32	RHA265	FRANCE	ASGROW	84	AF1 POPA	FRANCE	NOVARTIS
33	H100B	FRANCE	ASGROW	85	BF1 POPB	FRANCE	NOVARTIS
34	SSD580	FRANCE	ASGROW	86	TMB 51	FRANCE	INRAMONT
35	SSD581	FRANCE	ASGROW	87	QHP1	FRANCE	INRAMONT
36	5AS-F1/A2×R2	FRANCE	ASGROW	88	D34	FRANCE	INRAMONT
37	8ASB2	FRANCE	ASGROW	89	H603R	FRANCE	INRAMONT
38	12ASB3	FRANCE	ASGROW	90	OES	FRANCE	INRAMONT
39	15038	FRANCE	ASGROW	91	SDB2	FRANCE	INRAMONT
40	15031	FRANCE	ASGROW	92	F330/03	HUNGARY	-
41	H158A/LC1064C	FRANCE	ASGROW	93	F1250/03	HUNGARY	-
42	H543R/H543R	FRANCE	ASGROW	94	B454/03	HUNGARY	-
43	H156A/RHA274	FRANCE	ASGROW	95	F929/03	HUNGARY	-
44	H156A/H543R	FRANCE	ASGROW	96	RT931	FRANCE	RUSTICA
45	H100A/H543R	FRANCE	ASGROW	97	RT948	FRANCE	RUSTICA
46	H100A/RHA274	FRANCE	ASGROW	98	CSWW2X	FRANCE	Caussade semences
47	H205A/83HR4	FRANCE	ASGROW	99	9CSAS	FRANCE	Caussade semences
48	H158A/H543R	FRANCE	ASGROW	100	7CR16=PRH6	FRANCE	C.F
49	H209A/83HR4	FRANCE	ASGROW	101	803-1	SERBIA	IFVC
50	H157A/LC1064	FRANCE	ASGROW	102	5DES20QR	FRANCE	BRN
51	H100A/LC1064	FRANCE	ASGROW	103	11/4N-P	Eastern Europe	-
52	H100A/90R78	FRANCE	ASGROW	104	H049+FSB	FRANCE	-
	AS613	FRANCE	ASGROW	105	H543R	FRANCE	-

بندی لاین‌ها و ضریب همبستگی کوفنتیک با استفاده از نرم افزار NTSYS، نسخه ۲/۱ انجام شد (Rohlf, 1998). برای بررسی سطوح همکاری بین مراکز مهم تحقیقات آفتابگردان روغنی، ۹۶ لاین از ۱۰۶ ژنوتیپ استفاده شده بر اساس مراکز تحقیقاتی مبدأ، گروه‌بندی شدند به طوری که در هر گروه بیش از ۴ نمونه موجود باشد. بدین ترتیب آنالیز واریانس مولکولی (AMOVA) بر پایه داده‌های SSR با استفاده از نرم‌افزار GenAlex انجام شد. سطوح تمایز ژنتیکی (PhiPT)، میزان مهاجرت (Nm) و فاصله ژنتیکی نی (Nei, 1978) بین گروه‌ها با استفاده از نرم افزار 6 GenAlex محاسبه شد.

تجزیه مؤثر ساختار جمعیت و دسته‌بندی دقیق ژنوتیپ‌ها به زیر جمعیت‌های مناسب و تشخیص ژنوتیپ‌های مختلط با استفاده از روش Bayesian در نرم‌افزار 2.3.4 Pritchard *et al.*, 2000) (Structure انجام گرفت (Pritchard *et al.*, 2000). این روش هر یک از ژنوتیپ‌ها را با یک احتمال و طوری به زیر جمعیت‌های فرضی متنسب می‌کند که در هر زیر جمعیت میزان عدم تعادل پیوستگی حداقل و تعادل مرحله گامتی حداکثر باشد. بین ۱ تا ۱۰ زیر جمعیت فرضی اولیه در نظر گرفته شد و جهت افزایش دقت برای هر کدام از زیر جمعیت‌ها ۵ تکرار منظور گردید. برای این منظور از مدل ترکیبی (Admixture model) و استقلال فراوانی آللی با ۱۰۰۰۰ تکرار آزمایش (یا Burn-in) و (Markov Chain Monte Carlo) MCMC ۱۰۰۰۰ تکرار گردید.

استفاده گردید تا منحنی حداکثر درست نمایی حاصل شود. نرم‌افزار Structure برای هر مقدار K (تعداد واقعی زیر جمعیت) یک ماتریس به نام Q_{st} را به دست می‌دهد که این ماتریس شامل برآورد ضرایب احتمال عضویت هر ژنوتیپ در هر یک از زیر جمعیت‌ها است. تعداد واقعی زیر جمعیت توسط لگاریتم Likelihood برای هر K (Rosenberg *et al.*, 2002) تعیین می‌شود $L(K) = \ln P(D)$. از آنجایی که توزیع $\ln P(D)$ عدد دقیق و واضحی از K واقعی را نشان نمی‌دهد، دلتا K (ΔK) مبنی بر برآورد ثانویه تغییر در $L(K)$ جهت برآورد دقیق

واکنش‌های PCR به صورت تاج داون (Touchdown) به شرح زیر انجام شد: فاز اول: ۹۴ درجه سانتی گراد به مدت ۳ دقیقه؛ فاز دوم: مرحله اول شامل ۱۰ چرخه به صورت ۹۴ درجه سانتی گراد به مدت ۳۰ ثانیه، ۶۴ درجه سانتی گراد به مدت ۳۰ ثانیه مرحله دوم شامل ۳۰ چرخه به صورت ۹۴ درجه سانتی گراد به مدت ۳۰ ثانیه، ۵۴ درجه سانتی گراد به (دماهی اتصال آغازگر) به مدت ۳۰ ثانیه و ۷۲ درجه سانتی گراد به گراد به مدت ۴۵ ثانیه؛ فاز سوم: ۷۲ درجه سانتی گراد به مدت ۱۰ دقیقه. دماهی اتصال ۲ درجه پایین‌تر از دماهی ذوب آغازگر انتخاب شد. مزیت این روش اختصاصی‌تر شدن اتصالات اولیه آغازگر- الگو می‌باشد (Paniego *et al.*, 2002; Tang and Knapp, 2003; Tang *et al.*, 2002). محصولات PCR که تنوع در تعداد تکرار ریزماهواره‌ها را نشان دادند با ۵ میکرولیتر بافر (98% formamide, 10Mm EDTA, 0.05% bromophenol blue and 0.05% xylene cyanol) شده و به کمک الکتروفورز و ژل آگارز ۳٪ در بافر ۰.۵X و در ولتاژ ثابت ۸۰ ولت با استفاده از دستگاه (BioRad power pack) جداسازی شدند. زمان الکتروفورز بسته به وزن مولکولی قطعات حاصل از PCR بین ۱/۵-۳ ساعت متغیر بود. رنگ آمیزی باندها با اتیدیوم بروماید ۱ میکروگرم بر میلی لیتر انجام گرفت. از نشانگر ۱۰۰ جفت باز به عنوان شاخص برای تعیین اندازه آللی استفاده شد.

تجزیه‌های آماری: الگوی باندی حاصل از هر آغازگر SSR به صورت صفر (عدم وجود باند) و یک (وجود باند) نمره‌دهی شد. امتیازدهی نوارها به صورت شماره آلل تولیدی در مکان مورد نظر نیز صورت گرفت (سیستم هم‌بارز). تعداد آلل مشاهده شده (Na) و آلل مؤثر (Ne) در هر یک از مکان‌های SSR با استفاده از نرم‌افزار (Peakall and Smouse, 2006) نسخه ۶/۴۱ GenAlex محاسبه شد. برای انتخاب ضریب تشابه و الگوریتم مناسب برای گروه‌بندی لاین‌ها، از ضریب همبستگی کوفنتیک (r) استفاده شد. محاسبه ضرایب تشابه، گروه

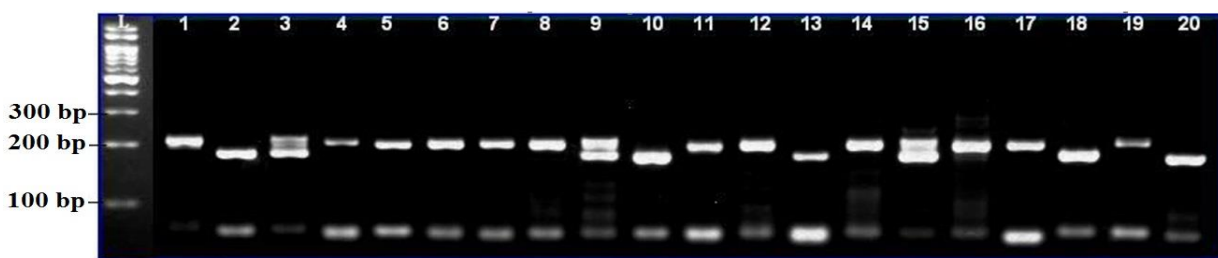
مطالعات مربوط به بررسی تنوع ژنتیکی استفاده شده است (Naseri *et al.*, 2011; Gharghani *et al.*, 2009). از آن جایی که میانگین تعداد آلل در هر مکان ریزماهواره مناسب بودن آن مکان ژنی برای تخمین تنوع ژنتیکی را نشان می-دهد، بنابراین آغازگرهایی از قبیل HA3040 زیادی در مکان های ژنی شناسایی کردند برای بررسی تنوع ژنتیکی مناسب می باشدند (جدول ۲).

دامنه تعداد آلل موثر از $1/10^6$ در مکان ژنی ORS718 تا $3/15$ در مکان ژنی HA3040 بود. میانگین تعداد آلل موثر برابر $1/164$ برآورد شد (جدول ۲). تعداد آلل موثر از محاسبه‌ی تعداد آلل و فراوانی آن‌ها به دست می‌آید و به وسیله آن می‌توان ژنوتیپ‌هایی با تعداد و توزیع آللی کاملاً متفاوت را با یکدیگر مقایسه نمود. آلل موثر $1/10^6$ در مکان ژنی ORS718 نشان دهنده ۲ آلل با فراوانی آللی کاملاً متفاوت و وجود یک آلل نادر برای این مکان ریزماهواره است. میزان دامنه PIC (میزان اطلاعات چند شکل) در لاین‌های مورد مطالعه بین $0/055$ تا $0/687$ بود. میانگین PIC در لاین‌های مورد مطالعه $0/344$ بود. میزان اطلاعات چند شکل، یکی از شاخص‌های مهم جهت مقایسه نشانگرهای مختلف از لحاظ قدرت تمایز آن‌ها می‌باشد. مقادیر بالای این معیار دلالت بر چند شکلی بالا و وجود آلل یا آلل‌های نادر در یک جایگاه نشانگری است که در تفکیک و تمایز افراد نقش بسزایی دارد. با توجه به میزان PIC و تعداد آلل، می‌توان بیان نمود که

مقدار واقعی K استفاده شد (Evanno *et al.*, 2005). در این روش شب تابع احتمال در نقطه‌ای می‌شکند که تعداد K فرضی در آن نقطه دارای حداقل احتمال باشد.

نتایج و بحث

با استفاده از ۳۰ مکان SSR در مجموع ۷۱ آلل مختلف در لاین‌های مورد مطالعه شناسایی شد (جدول ۲). تعداد آلل در مکان‌های مورد مطالعه بین ۲ تا ۴ متغیر بود. میانگین تعداد آلل در مکان‌ها $2/21$ بود. نمونه‌ای از الگوی نواری حاصل از تکثیر DNA تعدادی از ژنوتیپ‌های آفتابگردان با استفاده از آغازگر ریزماهواره ORS1265 در شکل ۱ Kholghi *et al.*, (2012) در بررسی تنوع ژنتیکی ۱۵ توده آفتابگردان آجیلی با ۲۰ نشانگر SSR تعداد ۴۳ آلل مختلف با میانگین $2/15$ آلل در هر مکان در توده‌های مورد مطالعه شناسایی کردند. تنک و کنپ (Tang and Knapp, 2003) از ۱۲۲ نشانگر ریزماهواره برای تمایز ۹ ژنوتیپ آفتابگردان آجیلی و روغنی استفاده کردند و میانگین تعداد آلل را $3/5$ آلل برای هر مکان ریزماهواره گزارش نمودند. تفاوت در نتایج گزارش شده توسط مطالعات مختلف عمده‌تا به دلیل تفاوت در تعداد ارقام مورد مطالعه، سابقه ژنتیکی، تعداد نشانگر مورد استفاده و تکنیک‌های مورد استفاده برای شناسایی پلی مورفیسم می‌باشد. اندازه باند و تفاوت بین باند‌ها از عوامل موثر در انتخاب سیستم جداسازی محصولات PCR است. در مقایسه ژل آکارز قدرت تفکیک پایینی از ژل‌های پلی‌اکریل آمید دارد، با این وجود آکارز به عنوان یک سیستم ایمن (Safe) در بسیاری از



شکل ۱- نمونه‌ای از الگوی نواری حاصل از تکثیر DNA تعدادی از ژنوتیپ‌های آفتابگردان با استفاده از آغازگر ریزماهواره ORS 1265. چاهک اول از سمت چپ، نشانگر وزن مولکولی 100 bp می‌باشد.

Figure 1. SSR fingerprints of some sunflower lines using ORS 1265 primer. The first Lane from left: 100 bp DNA ladder (Fermentas).

کامل ژنوم و در نتیجه عدم ارزیابی کامل ژنوتیپ‌ها از لحاظ تنوع ژنتیکی در کل ژنوم نسبت داد. عدد شاخص تشتیت (F_{ST})، تمایز بین جمعیت‌های مختلف را نشان می‌دهد. بیشترین مقدار F_{ST} برابر ۰/۲۰۸ بین لاین‌های گروه‌های NOVARTIS (فرانسه) و HUNGARY (مجارستان) و کمترین مقدار آن برابر ۰/۰۲۷ بین لاین‌های گروه‌های USDA-USA (آمریکا) و ASGROW (فرانسه) مشاهده شد (جدول ۴). بیشترین میزان جریان ژنی (Nm) برابر ۸/۹۹۴ بین لاین‌های گروه‌های ASGROW (آمریکا) و USDA-USA (فرانسه) و کمترین میزان جریان ژنی (Nm) برابر ۰/۹۵۴ بین لاین‌های گروه‌های NOVARTIS (فرانسه) و HUNGARY (مجارستان) مشاهده شد (جدول ۴). نتایج نشان داد با کاهش مقدار F_{ST} مقدار Nm افزایش می‌یابد. به طورکلی اگر $1 < Nm < 10$ باشد تمایز بین افراد بیشتر و اگر $Nm > 10$ باشد تمایز بین افراد اندک است (Wright, 1951). میزان جریان ژنی بالا می‌تواند دلیلی بر وجود منشاء مشترک بین لاین‌ها و پراکنش و مهاجرت آنها به وسیله انسان باشد. بصیرنیا و همکاران (Basirnia et al., 2016) تنوع ژنتیکی همین لاین‌ها را با نشانگرهای REMAP + IRAP بررسی کردند به طوری که کمترین تمایز ژنتیکی ($\Phi_{PT} = 0/016$) و بیشترین جریان ژنی ($Nm = 15/37$) بین لاین‌های گروه‌های USDA-USA (آمریکا) و ASGROW (فرانسه) مشاهده شد که مشابه نتایج این مطالعه است. تعداد آلل موثر (Ne) از ۰/۰۷۵ در گروه INRA-MONTPOL (مون پلیه فرانسه) تا ۰/۱۲۲ در گروه HUNGARY (مجارستان) متغیر بود. شاخص شانون (I) از ۰/۰۴۷ در گروه SPII (نهال و بذر کرج ایران) تا ۰/۰۶۲ در گروه ENSAT (تولوز فرانسه) مشاهده شد. بیشترین درصد مکان‌های پلی مورف به ترتیب در گروه‌های ASGROW (۱۰۰ درصد)، SPII (۹۳/۱۰)، ENSAT (۹۳ درصد) (نهال و بذر کرج ایران) و USDA-USA (۸۹/۶۶ درصد) (وزارت کشاورزی آمریکا) مشاهده شد (جدول ۵).

آغازگرهای HA3040 و ORS733، مناسب‌ترین آغازگرهای برای بررسی تنوع ژنتیکی و تمایز ژنوتیپ‌ها می‌باشند. به منظور بررسی سطح تنوع در درون و بین گروه‌های تشکیل شده بر اساس مراکز تحقیقاتی مبدأ، تجزیه واریانس مولکولی (Analysis of molecular variance: AMOVA) با استفاده از نرم‌افزار GenAlex انجام گرفت. تجزیه واریانس مولکولی نشان داد که ۸ درصد از تنوع محاسبه شده مربوط به بین گروه‌ها و ۹۲ درصد تنوع مربوط به درون گروه‌های (جدول ۳). کم بودن تنوع بین جمعیتی و شاخص‌های تمایز نشان دهنده وجود جریان ژنی بالا در بین جمعیت‌ها می‌باشد (Piñera, 2007). گرلیده و همکاران (Garayalde et al., 2011) با نشانگرهای SSR و ISSR تنوع درون جمعیتی در توده‌های آفتتابگردان را ۸۰٪ گزارش کردند. خلقی و همکاران (Kholghi et al., 2012) با نشانگرهای SSR تنوع درون جمعیتی در توده‌های آفتتابگردان آجیلی را ۸۶٪ گزارش کردند. بصیرنیا و همکاران (Basirnia et al., 2016) با بررسی تنوع ژنتیکی لاین‌های مورد بررسی در این مطالعه با نشانگرهای REMAP + IRAP نتایج مشابهی را گزارش کردند به طوری که تنوع درون گروه‌ها ۹۴٪ و تنوع بین گروه‌ها ۶٪ بود. بالاتر بودن تنوع درون جمعیتی نسبت به بین جمعیتی نشان می‌دهد که در بین جمعیت‌های مختلف ساختار ژنتیکی بازی وجود ندارد (Diz et al., 2009). تنوع ژنتیکی زیاد در درون گروه نشان دهنده وجود تفاوت‌های ژنتیکی زیاد افراد درون گروه از لحاظ مکان‌های ژنی تکثیر یافته می‌باشد و این گویای ناهمگنی درون گروه می‌باشد. به طور کلی ناهمگنی زیاد در درون گروه می‌تواند دلایل زیادی از جمله ماهیت چند پلوئیدی، دگرگشتنی، تلاقیهای مختلف بین ژنوتیپ‌ها، اختلاط فیزیکی بذور و غیره داشته باشد. در اینجا می‌توان دلیل بالا بودن تنوع در درون گروه‌ها را احتمالاً به انجام تلاقی بین ژنوتیپ‌ها از گروه‌های مختلف، اختلاط بذور هنگام تکثیر، یا اندازه کوچک گروه‌های مورد مطالعه و یا بزرگ بودن ژنوم و کافی نبودن ترکیبات آغازگری برای پوشش

جدول ۲- تخمین تنوع ژنتیکی در ژنوتیپ‌های آفتابگردان روغنی مورد مطالعه با استفاده از نشانگرهای میکروساتلیت

Table 2. Estimation of genetic diversity in studied oily sunflower genotypes by using simple sequence repeat (SSR) markers

نام آغازگر تکرار Locus	توالی آغازگر رفت (5'-3') Repeat motifs	آغازگر برگشت (3'-5') Forward primer (5'-3')	آغازگر برگشت (3'-5') Reverse primer (3'-5')	تعداد آلل Na	تعداد آلل های مؤثر Ne	دماهی اتصال محتوای اطلاعات چندشکل (PIC)	Annealing temperature (°C)
ORS785 (AG)17	CAAAATACCCAGGT CAAAGCA	CCTAGCTTATGGGAC GTATGGA	2	1.990	0.500	57	
ORS807 (AG)15	CCGATATTGACC GATATTTCGC	TCTCACCCCTCATCTC CTTCC	2	2.000	0.503	57	
ORS608 1 (AT)6(AG)1	CATGGAAAGCCGAG TTCTCT	CGTGC GTGATTAACA TACCC	2	1.137	0.121	57	
ORS609 (AG)20	GCGAAGGAAC TGAA CCGATA	GGATTTAGTCCGCC AATCA	2	1.300	0.232	57	
ORS1079(CT)26	TACGACTGACGATT CCATTTCTC	AACTGGATTTCACAG GGAGTGTT	2	1.367	0.270	59	
ORS718 (CT)13	CACTT TACGCACAC CAAACC	ATGCAACACCCGAAT CAAAG	2	1.058	0.055	57	
ORS1265(CT)18	GGTTTAGCAAATA ATAGGCACA	ACCC TTGGAGTTAG GGATCA	2	1.785	0.442	59	
ORS1242(CT)14	GCAATCGTTCACT CTTCCATTC	TGGT C GTAGAATTGT CGGT CAT	2	1.331	0.250	59	
HA3070 -	GGGATGAGCTCTGTC	CTTTCAATTCCCGCT	3	1.232	0.189	57	
ORS822 (GT)8	CAATGCCATCTGTC ATCAGCTAC	AAACAAACCTTGGA CGAAACTC	3	2.046	0.514	59	
ORS1256 5 (GT)8(AG)2	GATGTTGATGTTGG TGAAGTTGC	CTCCGT CACCTTAAG CACTTGTA	2	1.972	0.495	59	
ORS630 (CT)15	TGTGCTGAGGATGA TATGCAG	GCACGACCCGGATAT GTAAC	2	1.975	0.496	54	
ORS949 (AC)13	TGCAAGGTATCCAT ATTCCACAA	TATACGCACCGGAAA GAAAGTC	2	1.925	0.483	57	
ORS733 (AG)21	TATGAGTTGGCAAG GGCTTC	GGACTCCAACGAGAG AATCAGT	3	2.336	0.575	57	
ORS1088(CT)15	ACTATCGAACCTCC CTCCAAAC	GGATTTC TTTCATCTT TGTGGTG	2	1.220	0.181	59	
ORS378 (GT)17	GTGAAACCTTCGGA CCTCTG	GTACAAAAC TTATAA ATAAAACAA	2	1.979	0.498	57	
ORS617 (GA)17	GGTACTTGGTATTCT ATGGGT CAT	GACACCGCCA ACTTA ACACTT	2	1.290	0.226	57	
ORS694 (AG)17	CCTGGA ACTGA ACC GAGAAC	GCCGTGAAACAGAGA GAGGA	2	1.861	0.465	57	
ORS1064(CT)19	TGAATGATCTATGA GTGGT GATGG	ACTCGCAGTGGTAAG TCGTTAGG	2	1.118	0.106	59	
ORS1264(AG)28	TAGAAGCGGTTGGG TTGACAGTA	TGAAC TCGGTTGATT CTCTAGCC	2	1.471	0.322	59	
ORS728 (AG)7	CTCCATAGCAACCA CCTGAAA	CCAAACTCTGAATGA TACTTGTGAC	2	1.940	0.487	57	
ORS844 (AC)17	ACGATGCAAAGAAT ATACTGCAC	CATGTTAATAGGTT TAATTCTAGGG	2	1.729	0.424	59	
ORS878 (AC)11	TGCAAGGTATCCAT ATTCCACAA	TATA CGCACC GGAAA GAAAGTC	2	1.903	0.477	59	
ORS1179(AG)18	GATT CGGAGCTGTT AGGAGGTAG	AAACGGGAAGCAAG AATAGAAC A	2	1.075	0.070	59	
ORS565 (AG)13	TGGTCAACGGATTT AGAGTCAA	TCCAGTTGGTCTTGA TTTGG	2	1.895	0.476	54	
HA3040 -	GACCCGAACCAACT CCCATTCACTCCTGT	GTTCTTGCTTCGATCC CTCCGGT GAGGATT	4	3.147	0.687	57	
ORS488 (AC)14	TTCCA	GGATT	2	1.111	0.101	57	
ORS621 (CT)14	CGCCTTATGCTGAG AGGAAA	CCTGAAGCGAAGAAG AATCG	3	1.240	0.195	57	
ORS1215(CT)10	ATACTCTCCACCCT CAAATCCA	GGTTGCGGTAGTGGT CTGTAGT	2	1.146	0.128	59	
Mean (میانگین)			2.207	1.641	0.344		
SE (خطای استاندارد)			0.091	0.090	0.33		

$$Na = \text{تعداد آلل های متفاوت}, Ne = \text{تعداد آلل های مؤثر} = 1 / (\sum p_i^2).$$

$$Na = \text{Number of different alleles}, Ne = \text{number of effective alleles} = 1 / (\sum p_i^2).$$

جدول ۳- تجزیه واریانس مولکولی (AMOVA) در لاین‌های آفتابگردان روغنی
Table 3. Analysis of molecular variance (AMOVA) in oily sunflower lines

منابع Source	درجه آزادی df	مجموع مربعات SS	میانگین مربعات MS	تنوع ارزیابی شده Est. Var.	درصد %	معیار Stat	مقدار Value	احتمال P(rand >= data)
بین جمعیت Between population	6	253.724	42.287	1.761	92	PhiPT	0.081	0.010
درون جمعیت Within population	89	1774.245	19.935	19.935	8			
کل Total	95	2027.969		21.696	100			

:تفاوت ژنتیکی، df: درجه آزادی، SS: مجدد مربعات و MS: میانگین مربعات

PhiPT: Genetic differentiation; df: degree of freedom; SS: sum of squares and MS: mean of squares

تجیه خواهند نمود. توجیه درصد کمی از تغییرات توسط هر مولفه در این مطالعه، بیانگر پوشش ژنومی مناسب نشانگرهای SSR انتخاب شده می‌باشد. یعنی در واقع نشانگرهای انتخاب شده پراکنش مناسبی در ژنوم Basirnia آفتابگردان دارند. در مطالعه بصیرنیا و همکاران (Basirnia et al., 2016) بر روی همین لاین‌ها با نشانگرهای REMAP + دو مولفه اول، ۱۱/۶۰ درصد از تنوع کل را توجیه می‌نمودند. در گیاهان زراعی، یکی از معیارهای انتخاب والدین برای تلاقی و بهره‌مندی از پدیده‌ی هتروزیس، فاصله‌ی ژنتیکی می‌باشد. هر چند مکانیزم‌های ژنتیکی که در فرایند هتروزیس دخیل‌اند به خوبی درک نشده است ولی مشخص شده است که هیبریدهای حاصل از تلاقی بین والدین با روابط ژنتیکی کمتر و فاصله ژنتیکی بیشتر، قدرت بیشتری را نسبت به هیبریدهای حاصل از والدین با روابط ژنتیکی نزدیک‌تر از خود نشان می‌دهند. ماتریس فاصله ژنتیکی بین گروه‌ها (مراکز می‌دهند. ماتریس فاصله ژنتیکی بین گروه‌ها (مراکز تحقیقاتی) در نرم افزار GenAIEX بر اساس ضریب تشابه ژنتیکی نی محاسبه شد. فاصله ژنتیکی یک پارامتر با ارزشی برای حفاظت ژرم پلاسم و استفاده در اصلاح گیاهان می‌باشد (Kholghi et al., 2012). بر اساس فاصله ژنتیکی نی (Nei GD) لاین‌های متعلق به گروه SPII (نهال بذر کرج- ایران) کمترین فاصله (۰/۰۰۴) را با لاین‌های گروه‌های ENSAT (تولوز فرانسه) و INRA-

شباهت ژنتیکی لاین‌های آفتابگردان با سه ضریب تشابه تطابق ساده، جاکارد و دایس و در هر مورد گروه بندی لاین‌ها با الگوریتم‌های مختلف انجام شد. بر اساس ضریب همبستگی کوفتیک مناسب ترین روش برای گروه‌بندی لاین‌های مورد مطالعه، گروه‌بندی بر اساس ضریب تشابه جاکارد با الگوریتم Complete بود (Rincon et al., 1996) در (r=۰/۴۶). رینکون و همکاران (Rincon et al., 1996) در تجزیه کلاستر با استفاده از داده‌های مولکولی نشان دادند که به طور کلی ضریب کوفتیک پایین، دلیل بر عدم کارایی نمودار حاصل نیست. با استفاده از این ترکیب تجزیه کلاستر (ضریب تشابه جاکارد و الگوریتم Complete) لاین‌های مورد بررسی در ۴ گروه قرار گرفتند. گروه ۱ شامل ۱۲ لاین از مراکز (INRA-MOTPOL, NOVARTIS, ENSAT, ASGROW, HUNGARY) گروه ۲ شامل ۱۳ لاین از مراکز (ASGROW, HUNGARY, SPII, ENSAT, INRA-MOTPOL, USDA-USA) گروه ۳ شامل ۱۸ لاین از USDA-USA, ENSAT, INRAMOTPOL مراکز ()، و گروه ۴ شامل ۶۳ لاین از تمامی مراکز بود (شکل ۲). در تجزیه به مختصات اصلی، دو مولفه اول و دوم (۱۶/۶۸) درصد از تغییرات داده‌ها را توجیه می‌نمایند (شکل ۳). اگر همبستگی بین متغیرهای اصلی کمتر باشد به تعداد متغیرهای اصلی، متغیر جدید به دست خواهد آمد و دو یا سه مولفه اصلی بخش کوچکی از تغییرات داده‌ها را

است.

تجزیه ساختار جمعیت به روش بیزین با استفاده از نرم افزار Structure نشان داد که شاخص K و متوسط $\ln(PD)$ بیشترین مقدار را در $K=5$ دارند، بنابراین به احتمال قوی جمعیت مورد استفاده دارای ۵ زیر ساختار یا زیر جمعیت می باشد (شکل ۴). بارپلات به دست آمده از نرم افزار Structure نیز نشان داد که لاین های مورد مطالعه بر اساس حد آستانه ۰/۷ به ۵ زیر جمعیت تقسیم بندی شده است (شکل ۵).

MONTPOL توده های اولیه ژنتیکی مورد مطالعه از فرانسه و یا بر عکس از ایران وجود دارد. بیشترین ژنتیکی نی (۰/۲۱۰) بین دو گروه HUNGARY و NOVARTIS مشاهده شد (جدول ۴). نتایج گروه بندی نشان داد که گروه بندی ژنتیکی ها با استفاده از نشانگر ریز ماهواره از پراکنش جغرافیایی آنها تعیت نمی کند. نتایج گروه بندی حاصل از تجزیه کلاستر با تجزیه به مختصات اصلی تا حدودی در تطابق بود. این نتایج توسط سبز علیان و همکاران در زعفران نیز گزارش شده (Sabzalian *et al.*, 2009)

جدول ۴- مقادیر شاخص ثبت (Fst)، میزان جریان ژنی (Nm)، فاصله ژنتیکی (Unei GD) و شباهت ژنتیکی (UNei ID) در لاین های آفتابگردان روغنی

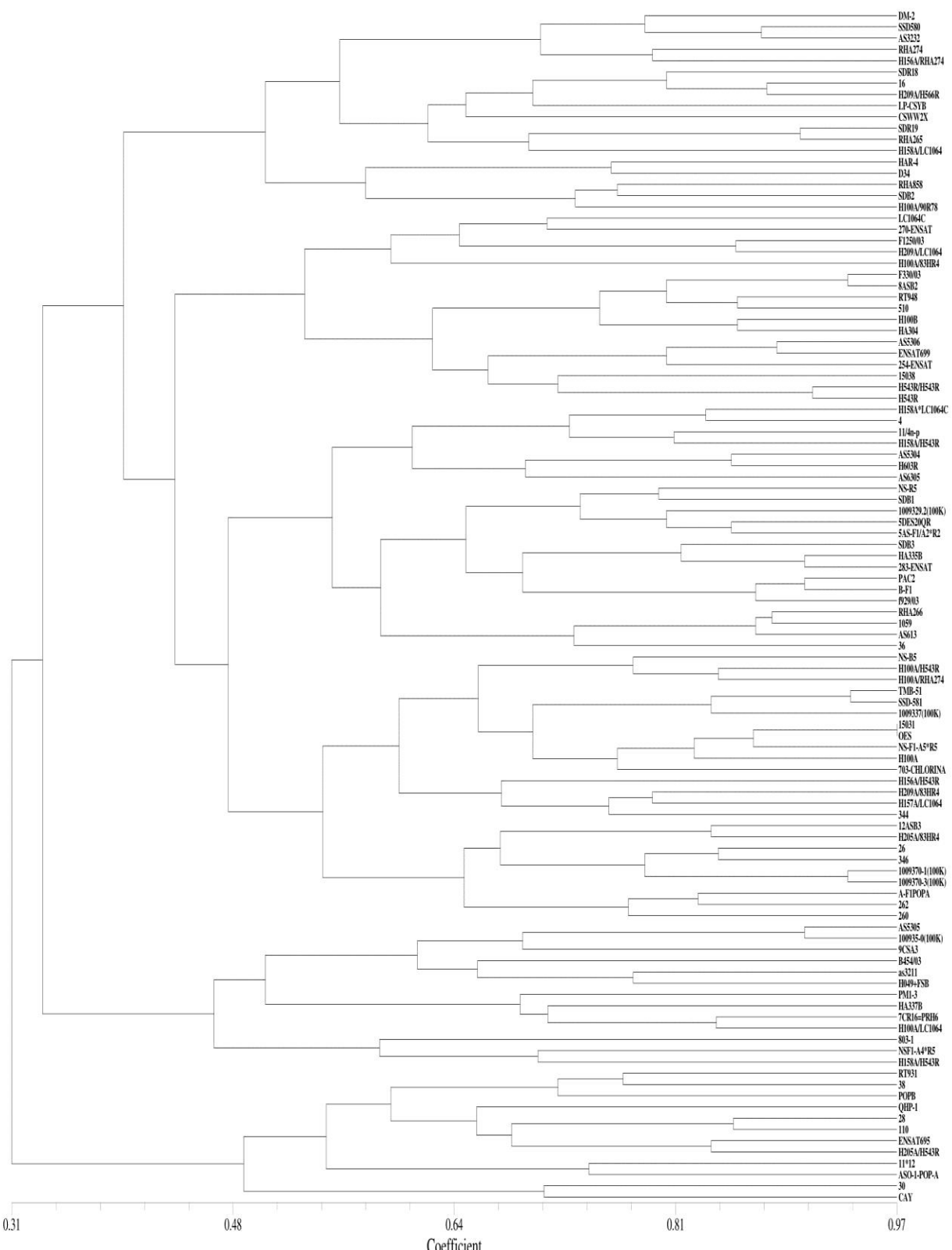
Table 4. Fixation index (Fst), number of migration (Nm), unbiased Nei genetic distance (Unei GD) and unbiased Nei genetic identity (UNei ID) in oily sunflower lines.

گروه X Group X	گروه Y Group Y	شاخص ثبت Fst	جریان ژنی Nm	فاصله ژنتیکی UNei GD	شباهت ژنتیکی UNei ID
USDA-USA	ASGROW	0.027	8.994	0.012	0.988
USDA-USA	NOVARTIS	0.083	2.776	0.062	0.939
ASGROW	NOVARTIS	0.062	3.758	0.044	0.957
USDA-USA	INRA MONTPOL	0.065	3.584	0.035	0.966
ASGROW	INRA MONTPOL	0.043	5.550	0.012	0.988
NOVARTIS	INRA MONTPOL	0.066	3.538	0.020	0.980
USDA-USA	ENSAT	0.049	4.882	0.039	0.962
ASGROW	ENSAT	0.037	6.512	0.030	0.971
NOVARTIS	ENSAT	0.076	3.025	0.054	0.948
INRA MONTPOL	ENSAT	0.051	4.656	0.014	0.986
USDA-USA	SPII	0.060	3.944	0.050	0.951
ASGROW	SPII	0.035	6.823	0.024	0.977
NOVARTIS	SPII	0.075	3.069	0.051	0.950
INRA MONTPOL	SPII	0.045	5.316	0.004	0.996
ENSAT	SPII	0.028	8.533	0.004	0.996
USDA-USA	HUNGARY	0.166	1.259	0.178	0.837
ASGROW	HUNGARY	0.166	1.258	0.195	0.823
NOVARTIS	HUNGARY	0.208	0.954	0.210	0.811
INRA MONTPOL	HUNGARY	0.186	1.097	0.166	0.847
ENSAT	HUNGARY	0.141	1.528	0.124	0.883
SPII	HUNGARY	0.141	1.524	0.140	0.869

جدول ۵- تخمین تعداد آلل (Na)، فراوانی آللی (Na Freq.)، شاخص شانون (Ne)، تعداد آلل موثر (Na Freq. $\geq 5\%$) و درصد پلی مورفیسم (%) در گروه های آفتابگردان روغنی مورد مطالعه

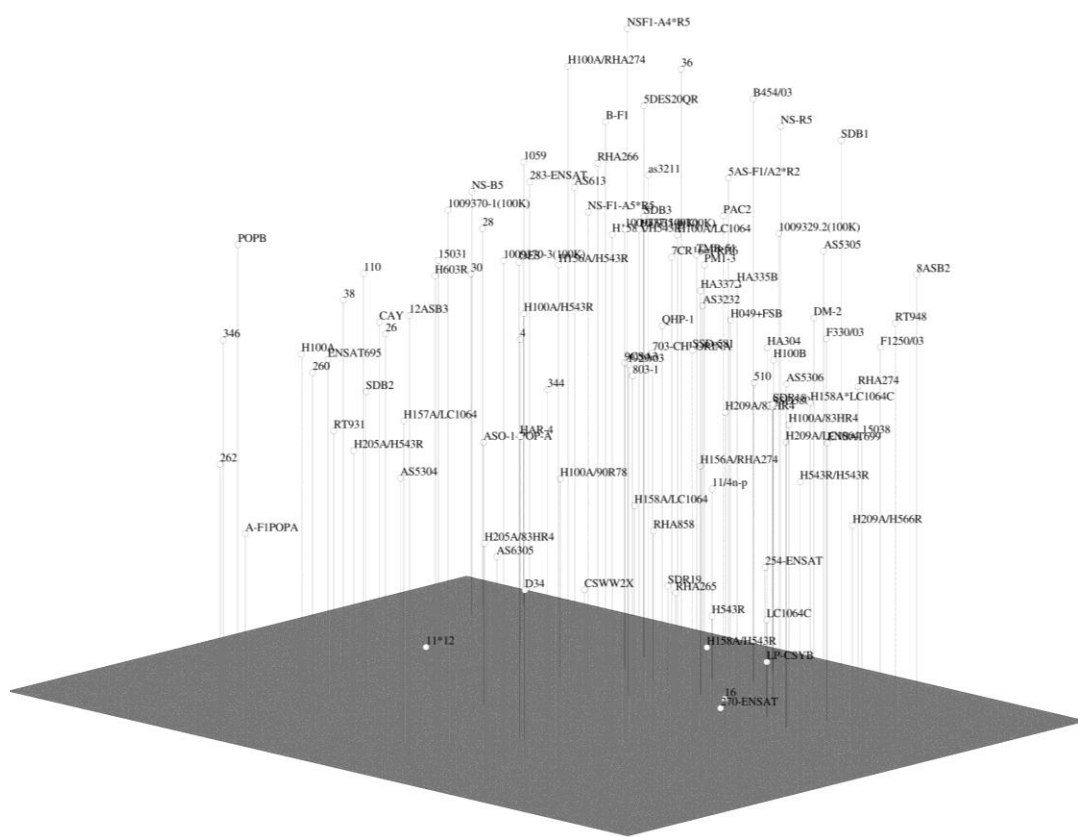
Table 5. Estimation of number of alleles (Na), allele frequencies (Na Freq), number of effective alleles (Ne), Shannon index (I) and the percentage of polymorphism (% P) in studied oily sunflower groups

گروه ها Populations	USDA- USA	ASGROW	NOVARTIS	INRA MONTPOL	ENSAT	SPII	HUNGARY
Na	0.099	0.087	0.125	0.104	0.111	0.085	0.144
Na Freq. $\geq 5\%$	0.119	0.116	0.125	0.104	0.129	0.099	0.144
Ne	0.080	0.092	0.110	0.075	0.100	0.077	0.122
I	0.050	0.049	0.058	0.054	0.062	0.047	0.061
% P	89.66	100.00	75.86	72.41	86.21	93.10	65.52



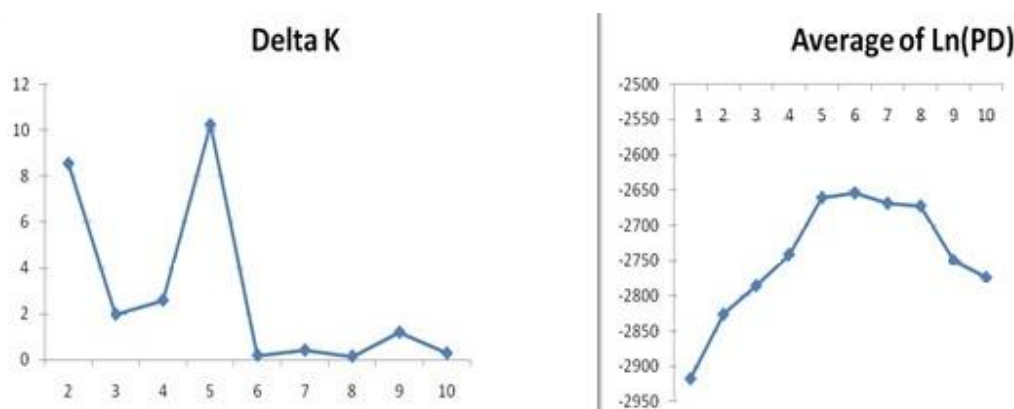
شکل ۲- دندروگرام ۱۰۶ لاین آفتابگردان روغنی براساس الگوریتم Complet و ضرایب تشابه جاکارد با استفاده از داده‌های SSR

Figure 2. Complete dendrogram based on Jaccard's similarity calculated from SSR data on 106 lines of oily sunflower



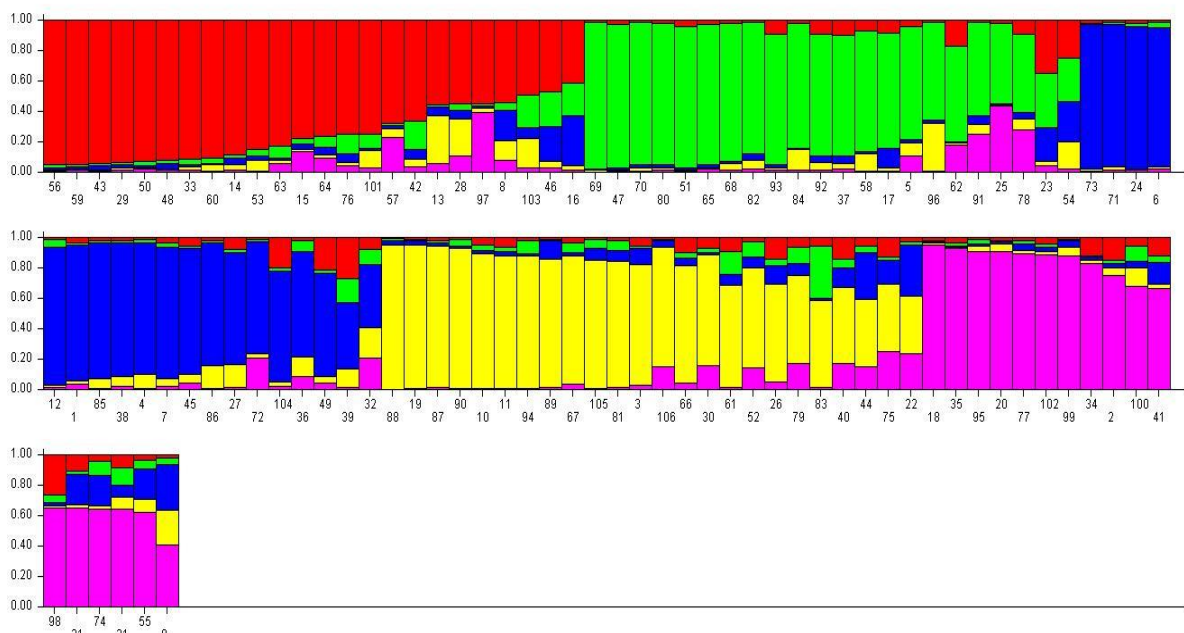
شکل ۳- تجزیه به مؤلفه‌های اصلی ۱۰۶ لاین آفتابگردان روغنی با استفاده از داده‌های مولکولی

Figure 3. Principal component analysis of 106 sunflower lines using molecular data



شکل ۴- تعیین ساختار جمعیت‌ها. محور عمودی در نمودار اول شاخص K و در نمودار دوم میانگین $\ln(PD)$ را نشان می‌دهد. محور افقی تعداد زیرجمعیت را نشان می‌دهد.

Figure 4. Determination of population structure. The Y-axis in first diagram is K index and in the second one is $\ln(PD)$. X-axis indicates the number of sub-group.



شکل ۵- خویشاوندی ژنتیکی ۱۰۶ ژنوتیپ آفتابگردان روغنی بر اساس نشانگرهای مولکولی SSR تجزیه شده در نرم افزار Structure. اعداد در محور عمودی ضریب عضویت هر فرد به زیر جمیعت‌ها و اعداد در محور افقی کد ۱۰۶ ژنوتیپ را نشان می‌دهند. ژنوتیپ‌ها با رنگ‌های یکسان متعلق به یک زیر جمیعت است.

Figure 5. Genetic relatedness of 106 genotypes of oily sunflower with simple sequence repeats (SSRs) analyzed by the Structure program. Numbers on the y-axis indicate the membership coefficient and on the x-axis indicate the genotypes code. Genotypes with the same color belong to the same subgroup.

با توجه به میزان PIC و تعداد آلل، می‌توان بیان نمود که آغازگرهای HA3040 و ORS733، مناسب‌ترین آغازگرها برای بررسی تنوع ژنتیکی و تمایز ژنوتیپ‌ها در آفتابگردان روغنی می‌باشند. این آغازگرها بهتر از همه نشانگرهای استفاده شده توائیستند فاصله ژنتیکی لاین‌ها را مشخص کنند. در کل گروه‌بندی لاین‌ها با نرم افزار NTSYS و تجزیه ساختار با نرم افزار استراکچر نشان داد الگوی تنوع مولکولی با تنوع جغرافیایی لاین‌ها مطابقت ندارد. بنابراین پیشنهاد می‌شود که انتخاب والدین برای هیبریداسیون به جای تنوع جغرافیایی مبتنی بر تنوع ژنتیکی باشد. نتایج حاضر نشان داد تنوع درون مراکز تحقیقاتی بیشتر از تنوع بین آنهاست. بنابراین در برنامه‌های اصلاحی می‌توان گیاهان با صفات مطلوب را از درون مراکز انتخاب کرد. همچنین نشان داده شد که جریان ژنی قابل توجهی میان مراکز تحقیقاتی وجود دارد. از آنجایی که عوامل محیطی تاثیری روی نشانگرهای مولکولی ندارند، انتخاب والدین

از کل ۱۰۶ لاین آفتابگردان روغنی، ۳۷ لاین (۳۴/۹۰ درصد) ساختار مخلوط، ۱۵ لاین (۱۴/۱۵ درصد) به هر کدام از ساختارهای اول، دوم، سوم و چهارم و ۹ لاین (۸/۴۹ درصد) به ساختار پنجم تعلق داشتند. INRA-MONTPOL درصد از لاین‌های متعلق به گروه ASGROW و ۳۵/۷۱ درصد از ۴۰/۶۲ درصد از گروه USDA-USA و ۳۵/۷۱ درصد از گروه USDA-USA ساختار مخلوط داشتند. این نتایج با کمترین ضریب تمایز ژنتیکی بین لاین‌های ASGROW و USDA-USA ($F_{ST}=0.027$) هم خوانی دارد. بررسی انتساب لاین‌ها به زیرساختارهای تهیه شده توسط نرم افزار Structure همچون گروه‌بندی لاین‌ها با نرم افزار NTSYS با الگوی خاصی از جمله الگوی تنوع جغرافیایی لاین‌ها مطابقت نداشت. بر اساس عدم تطابق تنوع ژنتیکی و جغرافیایی بدست آمده در این پژوهش به نظر می‌رسد که انتخاب ژنوتیپ‌ها جهت اجرای برنامه‌های اصلاحی در آفتابگردان روغنی بهتر است با استفاده از تنوع ژنتیکی صورت بگیرد.

اساسی دارد. با استفاده از این ژنوتیپ‌ها میتوان جمعیت‌های مکان‌یابی با تفرق بالا در افراد را توسعه داد که امکان مکان‌یابی QTL‌های کوچک اثر نیز امکان‌پذیر گردد.

سپاسگزاری

بدینوسیله نگارندگان بر خود لازم می‌دانند از دانشکده کشاورزی و پژوهشکده زیست‌فناوری دانشگاه ارومیه که امکانات لازم برای انجام این تحقیق را فراهم نمودند، صمیمانه تشکر نمایند.

با قابلیت ترکیب پذیری بالا جهت تولید ارقام هیرید بر اساس گروه‌بندی هتروتیک حاصل از نشانگرهای SSR می‌تواند موثر باشد. با تلاقی لین‌های دو مرکز NOVARTIS (فرانسه) و HUNGARY (مجارستان) که بیشترین فاصله ژنتیکی نی (GD=٢١٠) را نشان می‌دهند احتمالاً بیشترین هتروزیس را می‌توان در نتاج مشاهده نمود. همچنین، شناسایی ژنوتیپ‌هایی که از لحاظ ژنتیکی و فنوتیپی بیشترین فاصله را از هم داشته باشند در برنامه‌های مکان‌یابی QTL‌های کنترل کننده صفات کمی نقش

References

- Basirnia, A., Darvishzadeh, R. and Abdollahi Mandoulakani, B.** (2016). Retrotransposon insertional polymorphism in sunflower (*Helianthus annuus* L.) lines revealed by IRAP and REMAP markers. *Plant Biosystems*, **150(4)**: 641-652.
- Cheres, M.T. and Knapp, S.J.** (1998). Ancestral origins and genetic diversity of cultivated sunflower: Coancestry analysis of public germplasm. *Crop Science*, **38**: 1476-1482.
- Darvishzadeh, R.** (2012). Phenotypic and molecular marker distance as a tool for prediction of heterosis and F1 performance in sunflower (*Helianthus annuus* L.) under well-water and water-stressed conditions. *Australian Journal of Crop Science*, **6(4)**: 732-738.
- Darvishzadeh, R., Azizi, M., Hatami-Maleli, H., Bernusi, I., Abdollahi Mandoulakani, B., Jafari, M. and Sarrafi, A.** (2010). Molecular characterization and similarity relationships among sunflower (*Helianthus annuus* L.) inbred lines using some simple sequence repeats. *African Journal of Biotechnology*, **9**: 7280-7288.
- Dellaporta, S.L., Wood, J. and Hicks, J.B.** (1983). A plant DNA mini-preparation: version II. *Plant Molecular Biology Reporter*, **1**: 19-21.
- Diz, P.A. and Presa, P.** (2009). The genetic diversity pattern of *Mytilus alloprovincialis* in Galician Rías (NW Iberian estuaries). *Aquaculture*, **287**: 278-285.
- Dong, G.J., Liu, G.S. and Li, K.F.** (2007). Studying genetic diversity in the core germplasm of confection sunflower (*Helianthus annuus* L.) in China based on AFLP and morphological analysis. *Russian Journal of Genetics*, **43**: 627-635.
- Dry, P.J. and Burdon, J.J.** (1986). Genetic structure of natural populations of wild sunflowers (*Helianthus annuus* L.) in Australia. *Australian Journal of Biological Science*, **39**: 255-270.
- Eathing, S.R., Crosbie, T.M., Edwards, M.D., Reiter, R.S. and Bull, J.K.** (2007). Molecular markers in a commercial breeding program. *Crop Science*, **47(S3)**: S154-S163.
- Ebrahimi, M. and Zinoabedini, M.** (2013). Application of genomic and unigene-based microsatellite markers in conservation and management of genetic resources of some Iranian crops. *Crop Biotechnology*, **4**: 133-148 (In Persian).
- Evanno, G., Regnaut, S. and Goudet, J.** (2005). Detecting the number of clusters of individuals using the software STRUCTURE: a simulation study. *Molecular Ecology*, **14(8)**: 2620.
- Fick G.N. and Zimmer, D.E.** (1974). Parental lines for production of confection sunflower hybrids. *North Dakota Farm Research*, **31**: 15-16.
- Fick, G.N.** (1989). *Sunflower*. pp. 301-318, In: G. Robbelin, R.K. Downey and A. Ashri (ed.), *Oil Crops of the world*. McGraw-Hill, New York, USA.

- Gabor, T., Gasper, Z. and Jurka, J.** (2000). Microsatellite in different eukriotic genomes: survey and analysis. *Genome Research*, **10**: 967-981.
- Galaev, A.V., Babayants, L.T. and Sivolap Yu., M.** (2006). DNA-markers for resistance to common bunt transferred from *Aegilops cylindrica* host. to hexaploid wheat. *Czech Journal of Genetics and Plant Breeding*, **42**: 62-65.
- Garayalde, A.F., Poverene, M., Cantamutto, M. and Carrera, A.D.** (2011). Wild sunflower diversity in Argentina revealed by ISSR and SSR markers: an approach for conservation and breeding programmes. *Annals of Applied Biology*, **158**: 305-317.
- Gharghani, A., Zamani, Z., Talaie, A., Oraguzie, N.C., Fatahi, R., Hajnajari, H., Wiedow, C. and Gardiner, S.E.** (2009). Genetic identity and relationships of Iranian apple (*Malus × domestica*) cultivars and landraces, wild *Malus* species and representative old apple cultivars based on simple sequence repeats (SSR) marker analysis. *Genetic Resources and Crop Evolution*, **13**: 1-14.
- Heiser, C.B.** (1976). *Sunflowers: Helianthus (Compositae- Heliantheae)*. pp. 36-38, In: N.W. Simmonds (ed.), *Evolution of Crop Plants*. Longmans Green, London, EN.
- Hu, J., Seiler, G. and Kole, C.** (2010). *Genetics, Genomics and Breeding of Sunflower*. CRC Press, Clemson, USA.
- Iqbal, M.A., Sadaqat, H.A. and Khan, I.A.** (2008). Estimation of genetic diversity among sunflower genotypes through random amplified polymorphic DNA analysis. *Genetics and Molecular Research*, **7**: 1408-1413.
- Kalia, R.K., Rai, M.K., Kalia, S., Singh, R. and Dhawan, A.K.** (2011). Microsatellite markers: an overview of the recent progress in plants. *Euphytica*, **177**: 309-334.
- Khelestkina E.K., Pestsova, E.G., Salina, E., Roder, M.S., Abruzova, V.S., Koval, S.F. and Bomer, A.** (2002). Genetic mapping and tagging of wheat genes using RAPD, STS and SSR markers. *Cellular and Molecular Biology Letters*, **7**: 795-802.
- Kholghi M., Darvishzadeh, R., Bernousi, I., Pirzad, A. and Laurentin, H.** (2012). Assessment of genomic diversity among and within Iranian confectionary sunflower (*Helianthus annuus* L.) populations by using simple sequence repeat markers. *Acta Agriculturae Scandinavica, Section B - Soil & Plant Science*, **62**: 488-498.
- Kubo, N., Hirai, M., Kaneko, A., Tanaka, D. and Kasumi, K.** (2009). Development and characterization of simple sequence repeat (SSR) markers in the water lotus (*Nelumbo nucifera*). *Aquatic Botany*, **90**: 191-194.
- Laurentin H.** (2009). Data analysis for molecular characterization of plant genetic resources. *Genetic Resources and Crop Evolution*, **56**: 277-292.
- Li Y.C., Korol, A.B., Fahima, T. and Nevo, E.** (2004). Microsatellites within genes: structure, function, and evolution. *Molecular Biology and Evolution*, **21**: 991-1007.
- Liu, Z.** (2007). *Aquaculture Genome Technologies*. Blackwell Publishing.
- Morgante, M., Hanafey, M. and Powell, W.** (2002). Microsatellites are preferentially associated with nonrepetitive DNA in plant genomes. *Nature Genetics*, **30**: 144-200.
- Mondini, L., Noorani, A. and Pagnotta, M.A.** (2009). Assessing plant genetic diversity by molecular tools. *Diversity*, **1**: 19-35.
- Muller, M.E., Delieux, F., Fernandez Martinez, J.M., Garric, B., Lecomte, V., Anglade, G., Leflon, M., Motard, C. and Segura, R.** (2009). Occurrence, distribution and distinctive morphological traits of weedy *Helianthus annuus* L. populations in Spain and France. *Genetics Resources and Crop Evolution*, **56**: 869-877.
- Naseri, L., Darvishzadeh, R., Mohseniazar, M. and Alizadeh, A.** (2011). Molecular characterization and similarity relationships among some Iranian native and commercial apple

- (*Malus × domestica*) cultivars using simple sequence repeat markers. *Journal of Horticulture Science and Biotechnology*, **86(5)**: 527-533.
- Nei, M.** (1978). Estimation of average heterozygosity and genetic distance from a small number of individuals. *Genetics*, **89**: 583-590.
- Paniego N., Muñoz, M., Echaide, M., Fernandez, L., Faccio, P., Zandomeni, R., Suarez, E. and Esteban Hopp, H.** (1999). *Microsatellite development for sunflower*. In: Proceeding of Plant and Animal Genome VII Conference, San Diego: Starford University Press, USA.
- Paniego, N., Echaide, M., Munoz, M., Fernandez, L., Torales, S., Faccio, P., Fuxan, I., Crrera, M., Zandomeni, R., Syarez E.Y. and Esteban Hopp H.** (2002). Microsatellite isolation and characterization in sunflower (*Helianthus annuus* L.). *Genome*, **45**: 34-43.
- Paniego, N., Heinz, R., Fernandez, P., Talia, P., Nishinakamasu, V. and Esteban Hopp H.** (2007). *Sunflower*. pp. 153-177. In: C. Kole (ed.), *Genome Mapping and Molecular Breeding in Plants*, Vol. 2, Oilseeds. Springer-Verlag, Berlin-Heidelberg, Germany.
- Peakall, R. and Smouse, P.E.** (2006). GenAIEx 6: Genetic Analysis in Excel. Population genetic software for teaching and research. *Molecular Ecology Notes*, **6**: 288-295.
- Piñera, J.A., Blanco, G., Vázquez, E. and Sánchez, J.A.** (2007). Genetic diversity of black spot sea bream (*Pagellus bogaraveo*) populations off Spanish Coasts: a preliminary study. *Marine Biology*, **151**: 2153–2158.
- Poormohammad Kiani, S., Talia, P., Maury, P., Grieu, P., Heinz, R., Perrault, A., Nishinakamasu, V., Hopp, E., Gentzbittel, L., Paniego, N. and Sarrafi, A.** (2007). Genetic analysis of plant water status and osmotic adjustment in recombinant inbred lines of sunflower under two water treatments. *Plant Science*, **172**: 773-787.
- Pritchard J.K., Stephens, M. and Donnelly, P.** (2000). Inference of population structure using multilocus genotype data. *Genetics*, **155**: 945-959.
- Rincon, F., Johnson, B., Crossa, J. and Taba, S.** (1996). Cluster analysis, an approach to sampling variability in maize accessions. *Maydica*, **41**: 307-316.
- Rohlf F.J.** (1998). *NTSYSpc: Numerical Taxonomy and Multivariate Analysis System*. Version 2.02. Exeter Software, Setauket, New York.
- Rosenberg N.A., Pritchard, J.K., Weber, J.L., Cann, H.M., Kidd, K.K., Zhivotovsky, L.A. and Feldman, M.W.** (2002). The genetic structure of human populations. *Science*, **298**: 2381–2385.
- Sabzalian M.R., Mirlohi, A.F., Saeidi, G. and Rabbani, M.T.** (2009). Genetic variation among populations of wild safflower, *Carthamus oxyacanthus*, analyzed by agro-morphological traits and ISSR markers. *Genetic Resource and Crop Evolution*, **56**: 1057-1064.
- Tang, S. and Knapp S. J.** (2003). Microsatellites uncover extraordinary diversity in native American landraces and wild populations of cultivated sunflower. *Theoretical and Applied Genetics*, **106(6)**: 990-1003.
- Tang, S., Yu, J.K., Slabaagh, M.B., Shintani, D.K. and Knapp, S.J.** (2002). Simple sequence repeats map of the sunflower genome. *Theoretical and Applied Genetics*, **105**: 1124-1136.
- Thormann, C.E., Ferreira, M.E., Camargo, L.E.A., Tivang, J.G. and Osborn, T.C.** (1994). Comparison of RFLP and RAPD markers to estimating genetic relationships within and among cruciferous species. *Theoretical and Applied Genetics*, **88**: 973-980.
- Varshney R.K., Graner, A. and Sorrells, M.E.** (2005). Genic microsatellite markers in plants: features and applications. *Trends in Biotechnology*, **23**: 48-55.
- Vienne, D.** (2003). *Molecular Markers in Plants Genetics and Biotechnology*. Science publishers Inc., Enfield, NH.
- Weber, J.J.** (1990). Informativeness of human (dC-dA)n (dG.dT)n polymorphisms. *Genomics*, **7**: 524-530.
- Wright, S.** (1951). The genetical structure of populations. *Annals of Eugenics*, **15**: 323-354.

- Yu, J.K., Mangor, J., Thompson, L., Edwards, K.J., Slabaugh, M.B. and Knapp, S.J.** (2002). Allelic diversity of simple sequence repeats among elite inbred lines of cultivated sunflower. *Genome*, **45**: 652-660.
- Zhang, L.S., Le Clerc, V., Li, S. and Zhang, D.** (2005). Establishment of an effective set of simple sequence repeat markers for sunflower variety identification and diversity assessment. *Canadian Journal of Botany*, **83(1)**: 66-72.

Genetic Diversity and Structure Analysis of Oily Sunflower (*Helianthus annuus* L.) Based on Microsatellite Markers

Fatemeh Sahranavard Azartamar¹, Mortaza Ghadimzadeh² and Reza Darvishzadeh^{3,*}

- 1- Former M.Sc. Student, Department of Plant Breeding and Biotechnology, Faculty of Agriculture, Urmia University, Urmia, Iran
- 2- Associate Professor, Department of Plant Breeding and Biotechnology, Faculty of Agriculture, Urmia University, Urmia, Iran
- 3- Professor, Department of Plant Breeding and Biotechnology, Faculty of Agriculture, Urmia University, Urmia, Iran

(Received: December 28, 2015 – Accepted: March 12, 2016)

Abstract

Knowledge about the amount of genetic diversity and understanding relationship between genotypes are important steps in plant germplasm conservation and breeding activities. In this study, the genetic diversity among 106 sunflower lines was assessed by 30 microsatellite primers. A total of 71 alleles were detected. Number of alleles in microsatellite loci ranged from 2 to 4 with the average number of 2.207 alleles per locus. The effective number of alleles ranged from 1.058 in locus ORS718 to 3.147 in locus HA3040. The average number of effective alleles was 1.641. The mean of PIC value was 0.344. Based on allele number and PIC value, SSR loci such as HA3040 and ORS733 are considered appropriate markers for studying genetic diversity in oily sunflower. Based on the results of cluster analysis using Jaccard's similarity coefficient and complete algorithm, the lines were grouped into four groups. Nineteen six out of 106 genotypes were grouped according to their origins (research centers). The highest and lowest Nei genetic distances were 0.21 and 0.004 between "NOVARTIS and HUNGARY" and "SPII with ENSAT and INRA-MONTPOL" groups, respectively. Analysis of the population structure revealed 5 subpopulations in the studied panel. The results show that the assignment of lines to subpopulations is not concordance with their geographical distribution pattern. The genetic diversity and distance revealed by SSR markers can be used in oily sunflower crossing and breeding programs.

Keywords: Sunflower, Cluster analysis, Genetic diversity, Microsatellites, Subpopulation

* Corresponding Author, E-mail: r.darvishzadeh@urmia.ac.ir